# 海水曝露したセメント処理土の剛性率変化に及ぼす固化材添加量の影響

佐賀大学理工学部 学生会員〇山田 卓 佐賀大学低平地沿岸海域研究センター 正会員 末次 大輔 山口大学大学院理工学研究科 正会員 原 弘行 佐賀大学理工学部 学生会員 森田 麻友

### 1. はじめに

約25年前に築堤された固化処理土を基礎部に持つ感潮河川域の堤防では、堤防の至る箇所で漏水が発生し、固化処理土層が軟化している。著者らの既往の研究成果から、海水に曝されると固化処理土の化学的・物理的性状が変化することが明らかになっている<sup>1)</sup>. 今後、地球温暖化に伴う海水面の上昇によって沿岸部に用いられている固化処理土は海水や塩濃度の高い地下水に曝される可能性が高くなることが予想される。そのため、既設の固化処理地盤の健全性の診断技術や耐久性の評価技術が必要になると考える。

本研究の目的は、セメント処理土の健全性診断に弾性波を利用することを見据え、ベンダーエレメント(以下 BE)を用いて劣化したセメント処理土の剛性に関する基礎的な知見を得ることである。本報告では、海水に浸漬した固化材添加量が異なるセメント処理土に対して、BE を用いて劣化したセメント処理土中を伝わるせん断波速度を測定し、劣化処理土の剛性率の変化と固化材添加量の関係について述べる。

# 2. 試験概要

### 2.1 供試体の作製方法

試料土は佐賀県芦刈町で採取した有明粘土を使用した. 固化材には普通ポルトランドセメント(OPC)を用いた. 試料土の物性を表-1に示す. 実験で使用する劣化固化処理土は次のように作製した. まず, 試料土の含水比を液性限界の 1.5 倍 (256.8%) に調整し, OPC を 50, 70,  $100 \text{kg/m}^3$ 添加した. これを $\phi$ =50mm, h=100mm のプラスチックモールドに詰めて気中(室温  $20^\circ$ C)で 28 日間養生した. その後モールドから取り出し,NaCl 濃度を 20 g/L に調整した人工海水に所定期間浸漬させた. その際,供試体にはゴムスリーブを被せ下部は密閉し,海水との接触面を供試体上面のみとした. なお,浸漬期間は約 480 日間とし,1 週間に 1 回の頻度で海水交換を行った. 供試体の作製条件を表-2 にまとめて示す.

#### 2.2 試験方法

BE 設置方法を図-1 に示す。BE より大きめに穴を開け内側からアルミ板を接着したゴムスリーブを供試体に取り付け,BE を瞬間接着剤で金属板に固定する $^{2)}$ . BE はパラレル型で,縦 10mm,横 20mm,厚さ 1mm,アルミ板は縦 15mm,横 5mm,厚さ 0.1mmの寸法のものを使用した。送信波は  $\sin$  波,周波数  $f=1\sim10$ kHz とし,BE の付け根部分に

表-1 試料土の物性

| 自然含水比 (%)     | 239.4 |
|---------------|-------|
| 土粒子の密度(g/cm³) | 2.63  |
| 液性限界 (%)      | 171.2 |
| 塑性限界 (%)      | 58.7  |

表-2 供試体作製条件

| 試料土の含水比     | (%)        | 256.8       |
|-------------|------------|-------------|
| セメント添加量     | $(kg/m^3)$ | 50,70,100   |
| 供試体寸法       | (mm)       | φ=50, h=100 |
| 供試体と浸漬水の体積比 |            | ≒1:5        |
| 浸漬水の海水濃度    | (NaCl:g/L) | 20          |
| 浸漬期間        | (day)      | 480         |

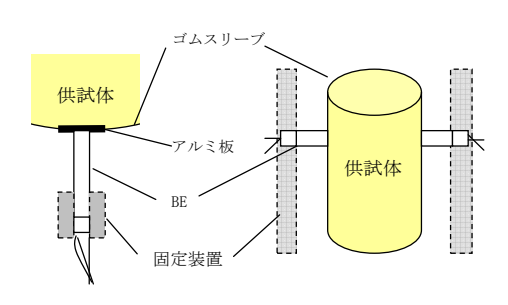


図-1 ベンダーエレメント設置方法

BE の振動幅が大きくなるように固定装置を取り付けた.送信電圧はファンクションジェネレーターから送信した 約 $\pm$ 7V の  $\sin$  波(1 周期)を電圧増幅器で約 $\pm$ 50V に増幅した.BE 試験で得られた波形の記録例を $\mathbf{Z}$ 0 $\mathbf{Z}$ 1 に示す.波 形はノイズが生じるため,スタッキングによる波形の処理を施した.せん断波の伝播時間  $\mathbf{Z}$ 1 $\mathbf{Z}$ 2 $\mathbf{Z}$ 2 $\mathbf{Z}$ 2 $\mathbf{Z}$ 2 $\mathbf{Z}$ 3 $\mathbf{Z}$ 3 $\mathbf{Z}$ 3 $\mathbf{Z}$ 3 $\mathbf{Z}$ 3 $\mathbf{Z}$ 4 $\mathbf{Z}$ 3 $\mathbf{Z}$ 5 $\mathbf{Z}$ 5 $\mathbf{Z}$ 6 $\mathbf{Z}$ 6 $\mathbf{Z}$ 6 $\mathbf{Z}$ 7 $\mathbf{Z}$ 9 $\mathbf{Z}$ 7 $\mathbf{Z}$ 7 $\mathbf{Z}$ 7 $\mathbf{Z}$ 7 $\mathbf{Z}$ 7 $\mathbf{Z}$ 7 $\mathbf{Z}$ 9 $\mathbf{Z}$ 7 $\mathbf{Z$ 

$$V_s = \frac{L}{\Delta t}$$
 ···(1)  $G = \rho_t \cdot V_s^2$  ···(2)

なお、BE 間距離はアルミ板間距離とする. BE 試験で測定する深度 はアルミ板の下部とし、劣化した供試体の 0-70mm まで 5mm 間 隔で測定を行った.

# 3. 結果と考察

各 OPC 添加量の剛性率分布を図-3 に示す. 各添加量とも深度 が浅い部分では剛性率は極めて小さい値を示し、それより深い部 分では剛性率が急激に高くなる部分があり、それ以深ではほぼ一 定の値を示す. 著者らは、劣化が進行する固化処理土の内部の状 態をコーン貫入試験と化学的性質の深度分布により 3 つの領域に 分けられることを示した<sup>1)</sup>. さらに, 貫入抵抗分布と剛性率分布 はほぼ同じになることがわかっているため<sup>4</sup>、この剛性率の分布 を同様に 3 つの領域に分け、すなわち(a)劣化領域、(b)遷移領域、 (c)健全領域に分ける. セメント添加量が多いほど劣化領域は小さ いので、添加量が多いほど劣化の進行が遅いことがわかる. 劣化 領域の最も剛性率が小さい深度 5mm と, 健全領域の最も剛性率が 大きい深度 70mm の剛性率をそれぞれ  $G_1$ ,  $G_0$  とし、セメント添加 量と剛性率、セメント添加量と剛性率比  $G_1/G_0 \times 100$  の関係をそれ ぞれ $\mathbf{Z}$ -4,  $\mathbf{Z}$ -5に示す。健全領域の各添加量の剛性率  $G_0$ は添

加量が多いほど高くなる. 同様に劣化領域の剛性率  $G_1$  を比較すると、各 添加量とも剛性率は健全領域に比べ著しく低下していたが、劣化領域に おいても G<sub>1</sub>=0.73, 1.27, 2.85(MPa)と添加量が多いほど剛性率は高い値を 示した. 剛性率比は添加量に関わらずほぼ一定の値となる. その値は約 0.55%となり、これは、海水浸漬によって劣化すると剛性率が健全時の約 99.5%まで低下することを示している.

## 4. まとめ

本研究では、固化材添加量の異なるセメント処理土供試体を海水に浸 漬劣化させ、BE 試験を実施して、固化材添加量と剛性率の関係を調べた。 得られた知見を以下に示す.

- 1)海水に浸漬したセメント処理土は、劣化領域においても固化材添加量が 多いほど剛性率は高い.
- 2)海水によって劣化したセメント処理土の剛性率低下の割合は, 固化材添 加量によらず、ほぼ一定である.

### 参考文献

1)原弘行, 末次大輔, 林重徳:海水環境下における石灰処理土のカルシウ 図-5  $G_1/G_0$ とセメント添加量の関係 ム溶出機構, 材料, Vol.61, No.1, pp11-14 (2011). 2)山下聡, 堀智仁, 鈴木輝之: 異方応力状態でのせん断波速度に及 ぼす伝播方向と堆積方向の影響, 土木学会論文集, No.722, III-61, pp.387-392 (2002). 3)萩野俊寛,高橋貴之,及川洋,三 田地利之,対馬雅己:ベンダーエレメント試験および繰り返し載荷試験による泥炭のせん断弾性係数,地盤工学ジャ ーナル, Vol.4 No.1, pp.125-133 (2009). 4)渡辺江美, 末次大輔, 原弘行, 鈴木裕美: ベンダーエレメント試験による海 水浸漬した石灰処理土の剛性率分布の測定,研究発表会講演概要集, III-1, (2012)

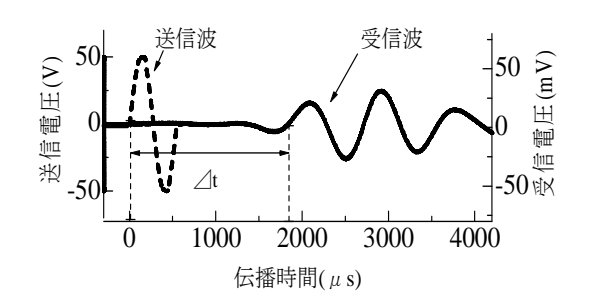


図-2 送信波と受信波の観測例

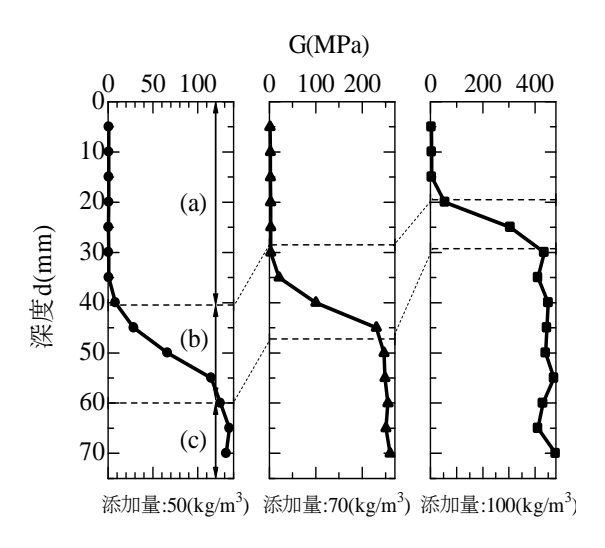


図-3 劣化したセメント処理土の剛性率分布

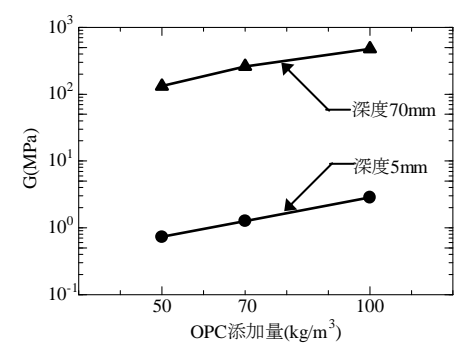


図-4 剛性率 G とセメント添加量の関係

